

# proarrow equipment

alg-d

[https://alg-d.com/math/kan\\_extension/](https://alg-d.com/math/kan_extension/)

2026 年 1 月 14 日

各点 Kan 拡張を定義するもう 1 つの方法が proarrow equipment である. proarrow は profunctor の一般化であり, これを使って各点 Kan 拡張を定義する (これを p-各点 Kan 拡張と呼ぶ).

## 目次

1	定義	1
2	p-各点 Kan 拡張	5
3	p-忠実充満	11
4	c-各点左 Kan 拡張との関係	17
5	y-各点 Kan 拡張との関係	22

## 1 定義

定義.  $\mathcal{B}$  を bicategory とする.  $\mathcal{B}$  の **proarrow equipment** とは, bicategory  $\mathcal{M}$  と pseudofunctor  $(-)_*: \mathcal{B} \rightarrow \mathcal{M}$  であって以下の条件を満たすものをいう.

- (p1)  $\text{Ob}(\mathcal{B}) = \text{Ob}(\mathcal{M})$  であり,  $(-)_*$  は対象について恒等写像である.
- (p2)  $(-)_*$  は局所忠実充満である.
- (p3) 任意の 1-morphism  $f \in \mathcal{B}$  に対して,  $f_* \in \mathcal{M}$  は右随伴  $f^*$  を持つ. (ここでは随伴  $f_* \dashv f^*$  の unit, counit を  $\eta_f, \varepsilon_f$  で表す.)

また  $\mathcal{B}$  の 1-morphism を **map**,  $\mathcal{M}$  の 1-morphism を **proarrow** と呼ぶ.

例 1.  $\text{id}_{\mathbb{1}}: \mathbb{1} \rightarrow \mathbb{1}$  は  $\mathbb{1}$  の proarrow equipment である. □

例 2. bicategory  $\mathcal{M}$  の局所充満部分 bicategory  $\mathcal{B} \subset \mathcal{M}$  を

- $\text{Ob}(\mathcal{B}) := \text{Ob}(\mathcal{M})$  とする.
- $\text{Ob}(\mathcal{B}(a, b)) := \{f: a \rightarrow b \mid f \text{ は右随伴を持つ} \}$  とする.

により定める. このとき包含  $\mathcal{B} \rightarrow \mathcal{M}$  は  $\mathcal{B}$  の proarrow equipment である. □

例 3.  $V$  を完備かつ余完備な対称モノイダル閉圏としたとき  $(-)_*: V\text{-Cat} \rightarrow V\text{-Prof}$  を以下のように定める.

- $\mathcal{C} \in V\text{-Cat}$  に対して  $\mathcal{C}_* := \mathcal{C}$  とする.
- $\mathcal{C}, \mathcal{D} \in V\text{-Cat}$  に対して関手  $(-)_*: V\text{-Cat}(\mathcal{C}, \mathcal{D}) \rightarrow V\text{-Prof}(\mathcal{C}, \mathcal{D})$  を

$$V\text{-Cat}(\mathcal{C}, \mathcal{D}) \xrightarrow{y^\bullet} V\text{-Cat}(\mathcal{C}, \widehat{\mathcal{D}}) = V\text{-Prof}(\mathcal{C}, \mathcal{D})$$

により定める. 即ち  $V$ -関手  $F: \mathcal{C} \rightarrow \mathcal{D}$  に対して  $F_* := y \circ F$  である.

- $F: \mathcal{A} \rightarrow \mathcal{B}$ ,  $G: \mathcal{B} \rightarrow \mathcal{C}$  に対して, 合成の定義より

$$G_* \diamond F_* = y^\dagger(yG) \circ y \circ F \cong y \circ G \circ F = (GF)_*$$

$$\begin{array}{ccccc} & & \widehat{\mathcal{B}} & \xrightarrow{y^\dagger(yG)} & \widehat{\mathcal{C}} \\ & \nearrow F_* & \uparrow y & & \uparrow y \\ \mathcal{A} & \xrightarrow{F} & \mathcal{B} & \xrightarrow{G} & \mathcal{C} \end{array}$$

である. この同型を  $\varphi_{GF}: G_* \diamond F_* \Rightarrow (GF)_*$  と書く. これは  $G, F$  について自然である.

- $\mathcal{C} \in V\text{-Cat}$  に対して  $(\text{id}_{\mathcal{C}})_* = y$  である.
- このとき  $V\text{-Prof}$  における次の等式が成り立つ.

$$\begin{array}{c} \begin{array}{ccccc} & \mathcal{B} & \xrightarrow{G_*} & \mathcal{C} & \\ & \nearrow F_* & \searrow \varphi_{GF} & \searrow H_* & \\ \mathcal{A} & \xrightarrow{(GF)_*} & \mathcal{C} & \xrightarrow{H_*} & \mathcal{D} \\ & \searrow \varphi_{H, GF} & & & \\ & \mathcal{A} & \xrightarrow{(HGF)_*} & \mathcal{D} & \end{array} \\ = \\ \begin{array}{ccccc} & \mathcal{B} & \xrightarrow{G_*} & \mathcal{C} & \\ & \nearrow F_* & \searrow \varphi_{HG} & \searrow H_* & \\ \mathcal{A} & \xrightarrow{(HG)_*} & \mathcal{C} & \xrightarrow{H_*} & \mathcal{D} \\ & \searrow \varphi_{HG, F} & & & \\ & \mathcal{A} & \xrightarrow{(HGF)_*} & \mathcal{D} & \end{array} \end{array}$$

- 以上により  $(-)_*: V\text{-}\mathbf{Cat} \rightarrow V\text{-}\mathbf{Prof}$  は pseudofunctor である.
- $y: \mathcal{D} \rightarrow \widehat{\mathcal{D}}$  は  $V\text{-}\mathbf{Cat}$  の 1-morphism として忠実充満である (「米田構造」の PDF を参照). 従って  $(-)_*: V\text{-}\mathbf{Cat}(\mathcal{C}, \mathcal{D}) \rightarrow V\text{-}\mathbf{Prof}(\mathcal{C}, \mathcal{D})$  は忠実充満関手である. 即ち  $(-)_*$  は局所忠実充満である.
- $V$ -関手  $F: \mathcal{C} \rightarrow \mathcal{D}$  に対して  $F_* \dashv F^*: \mathcal{C} \rightleftarrows \mathcal{D}$  である.
- 以上により  $(-)_*: V\text{-}\mathbf{Cat} \rightarrow V\text{-}\mathbf{Prof}$  は proarrow equipment である.  $\square$

命題 4.  $f \mapsto f^*$  は pseudofunctor  $(-)^*: \mathcal{B}^{\text{coop}} \rightarrow \mathcal{M}$  を与える.

証明.  $\beta: f \Rightarrow g: a \rightarrow b$  を  $\mathcal{B}$  の 2-morphism とすると,  $g_* \dashv g^*$  より  $g_*^\dagger \text{id} = \langle g^*, \eta_g \rangle$  となるから, 次の等式を満たす  $\beta^*: g^* \Rightarrow f^*$  が一意に存在する.

これにより  $(-)^*$  が pseudofunctor になることを示せばよい.

- 普遍性から明らかに  $(-)^*: \mathcal{B}^{\text{coop}}(a, b) \rightarrow \mathcal{M}(a, b)$  は関手である.
- $a \xrightarrow{f} b \xrightarrow{g} c$  とすると  $f_* \dashv f^*$ ,  $g_* \dashv g^*$  だから  $g_* \circ f_* \dashv f^* \circ g^*$  である. この随伴

の unit を  $\eta'_{gf}$  として、次の等式により  $\tau_{gf}$  を定める. ( $\varphi$  は  $(-)_*$  の  $\varphi$  である.)

$$\begin{array}{c}
 \begin{array}{ccccc}
 & & c & & \\
 & \nearrow^{g^*} & & \searrow^{f^*} & \\
 (g \circ f)^* & \nearrow^{\varphi_{gf}} & b & \nearrow^{g^*} & \\
 \nwarrow^{f^*} & & \nwarrow^{\eta'_{gf}} & & \\
 a & \xrightarrow{\text{id}_a} & a & & 
 \end{array}
 \end{array}
 =
 \begin{array}{c}
 \begin{array}{ccccc}
 & & c & & \\
 & \nearrow^{g^*} & & \searrow^{f^*} & \\
 (g \circ f)^* & \nearrow^{\eta_{g \circ f}} & b & \nearrow^{g^*} & \\
 \nwarrow^{f^*} & & \nwarrow^{\tau_{gf}} & & \\
 a & \xrightarrow{\text{id}_a} & a & & 
 \end{array}
 \end{array}$$

$\varphi_{gf}$  が同型だから  $\tau_{gf}$  も同型になる. そこで  $\varphi'_{gf} := \tau_{gf}^{-1}$  と定める.

- $\varphi'_{gf}$  は自然同型

$$\begin{array}{ccc}
 \mathcal{B}^{\text{coop}}(b, c) \times \mathcal{B}^{\text{coop}}(a, b) & & \\
 \begin{array}{c} \nwarrow^{(-)^* \times (-)^*} \\ \searrow^M \end{array} & & \begin{array}{c} \nwarrow^M \\ \searrow^{(-)^*} \end{array} \\
 \mathcal{M}(b, c) \times \mathcal{M}(a, b) & \xrightarrow[\varphi']{\sim} & \mathcal{B}^{\text{coop}}(a, c) \\
 \searrow^M & & \swarrow^{(-)^*} \\
 & \mathcal{M}(a, c) & 
 \end{array}$$

を定めることが普遍性から分かる.

- $a \in \mathcal{B}$  に対して  $\psi'_a$  を次の等式で定める.

$$\begin{array}{c}
 \begin{array}{ccccc}
 & & a & & \\
 & \nearrow^{\text{id}_*} & & \searrow^{\text{id}} & \\
 \text{id}_* & \nearrow^{\psi_a} & a & \nearrow^{\text{id}} & \\
 \nwarrow^{\text{id}} & & \nwarrow^{\rho} & & \\
 a & \xrightarrow{\text{id}} & a & & 
 \end{array}
 \end{array}
 =
 \begin{array}{c}
 \begin{array}{ccccc}
 & & a & & \\
 & \nearrow^{\text{id}_*} & & \searrow^{f^*} & \\
 \text{id}_* & \nearrow^{\eta_{\text{id}}} & a & \nearrow^{f^*} & \\
 \nwarrow^{\text{id}} & & \nwarrow^{\psi'_a} & & \\
 a & \xrightarrow{\text{id}} & a & & 
 \end{array}
 \end{array}$$

- このとき次の図式は可換であることが分かる.

$$\begin{array}{ccccc}
 f^* \circ (g^* \circ h^*) & \xrightarrow{f^* \bullet \varphi'_{hg}} & f^* \circ (h \circ g)^* & \xrightarrow{\varphi'_{h \circ g, f}} & ((h \circ g) \circ f)^* \\
 \downarrow \alpha_{f^* g^* h^*} & & & & \downarrow F(\alpha_{hgf}) \\
 (f^* \circ g^*) \circ h^* & \xrightarrow{\varphi'_{gf} \bullet h^*} & (g \circ f)^* \circ h^* & \xrightarrow{\varphi'_{h, g \circ f}} & (h \circ (g \circ f))^*
 \end{array}$$
  

$$\begin{array}{ccc}
 f^* \circ \text{id} & \xrightarrow{\rho} & f^* \\
 \downarrow f^* \bullet \psi' & & \uparrow \lambda^* \\
 f^* \circ \text{id}^* & \xrightarrow{\varphi'_{\text{id}_b, f}} & (\text{id} \circ f)^*
 \end{array}
 \qquad
 \begin{array}{ccc}
 \text{id}_{Fa} \circ f^* & \xrightarrow{\lambda} & f^* \\
 \downarrow \psi' \bullet f^* & & \uparrow \rho^* \\
 \text{id}^* \circ f^* & \xrightarrow{\varphi'_{f, \text{id}_a}} & (f \circ \text{id})^*
 \end{array}$$

以上により  $(-)^*$  は pseudofunctor である. □

この  $(-)^*: \mathcal{B}^{\text{coop}} \rightarrow \mathcal{M}$  は明らかに局所忠実充満である.

命題 5.  $f: a \rightarrow b$ ,  $u: b \rightarrow a$  を map とするとき

$\mathcal{B}$  において  $f \dashv u$  である  $\iff \mathcal{M}$  において  $f^* \cong u_*$  である.

証明.  $(\implies)$   $f \dashv u$  とすると  $(-)_*$  が pseudofunctor だから  $f_* \dashv u_*$  である. よって右随伴の一意性により  $f^* \cong u_*$  である.

$(\impliedby)$   $f^* \cong u_*$  とすると  $f_* \dashv f^*$  だから  $f_* \dashv u_*$  である.  $(-)_*$  が局所忠実充満だから  $f \dashv u$  である. (「2-category」の PDF を参照.) □

## 2 p-各点 Kan 拡張

定義.  $\mathcal{B}$  の図式

$$\begin{array}{ccc} & b & \\ f \uparrow & \searrow l & \\ a & \xrightarrow{g} & c \end{array} \quad \eta \Uparrow$$

を考える.  $\langle l, \eta \rangle$  が  $f$  に沿った  $g$  の **p-各点左 Kan 拡張** とは,  $(-)^*$  を適用して得られる  $\mathcal{M}$  の図式

$$\begin{array}{ccc} & b & \\ f^* \downarrow & \nwarrow l^* & \\ a & \xleftarrow{g^*} & c \end{array} \quad \eta^* \Downarrow$$

が右 Kan リフトを与えることをいう.

※ ここで  $\eta^*$  は厳密には  $(l \circ f)^* \Rightarrow g^*$  という 2-morphism であるが, これを pseudofunctor による同型  $(l \circ f)^* \cong f^* \circ l^*$  を使って  $\eta^*: f^* \circ l^* \Rightarrow g^*$  とみなしてこのような図式を描いている. 詳しくは「2-category」の PDF の pasting theorem を参照.

例 6. proarrow equipment  $(-)_*: V\text{-Cat} \rightarrow V\text{-Prof}$  (例 3) において p-各点左 Kan

拡張

$$\begin{array}{ccc}
 \mathcal{D} & & \\
 \uparrow F & \searrow L & \\
 \mathcal{C} & \xrightarrow{E} & \mathcal{M}
 \end{array}
 \quad \eta \Uparrow$$

を考える。即ち

$$\begin{array}{ccc}
 \mathcal{D} & & \\
 \downarrow F^* & \swarrow L^* & \\
 \mathcal{C} & \xleftarrow{E^*} & \mathcal{M}
 \end{array}
 \quad \eta^* \Downarrow$$

が  $V\text{-}\mathbf{Prof}$  の右 Kan リフトということだが、右 Kan リフト  $(F^*)_{\sharp} E^*$  は

$$(F^*)_{\sharp} E^*(d, m) \cong \widehat{\mathcal{C}}(F^*d, E^*m) \cong \widehat{\mathcal{C}}(\mathcal{D}(F-, d), \mathcal{M}(E-, m))$$

で与えられる。即ち  $d \in \mathcal{D}$  と  $m \in \mathcal{M}$  について自然に

$$\mathcal{M}(Ld, m) \cong \widehat{\mathcal{C}}(\mathcal{D}(F-, d), \mathcal{M}(E-, m))$$

となり、 $L$  は  $V$ -関手の意味での各点左 Kan 拡張である（この  $L$  の unit が元の  $\eta$  と一致していることは以下の議論から分かる）。

逆に  $L$  が  $V$ -関手の各点左 Kan 拡張であるとする。即ち  $d \in \mathcal{D}$  と  $m \in \mathcal{M}$  について自然な同型

$$\sigma_{dm}: \mathcal{M}(Ld, m) \rightarrow \widehat{\mathcal{C}}(\mathcal{D}(F-, d), \mathcal{M}(E-, m))$$

が存在したとする。  $\widehat{\mathcal{C}}(\mathcal{D}(F-, d), \mathcal{M}(E-, m))$  が定める  $V$ -profunctor を  $R: \mathcal{M} \nrightarrow \mathcal{D}$  とすると  $\sigma: L^* \Rightarrow R$  は  $V\text{-}\mathbf{Prof}$  の 2-morphism である。そこで

$$\theta \quad := \quad
 \begin{array}{ccc}
 \mathcal{D} & & \\
 \downarrow F^* & \swarrow L^* & \\
 \mathcal{C} & \xleftarrow{E^*} & \mathcal{M}
 \end{array}
 \quad \begin{array}{c} \Downarrow \sigma \\ \Downarrow \varepsilon \end{array}$$

と定める（但し  $\varepsilon$  は右 Kan リフト  $R$  の counit である）。合成

$$\begin{aligned}
 & \mathcal{M}(Ld, m) \otimes \mathcal{D}(Fc, d) \\
 & \xrightarrow{\sigma_{dm} \otimes \text{id}} \widehat{\mathcal{C}}(\mathcal{D}(F-, d), \mathcal{M}(E-, m)) \otimes \mathcal{D}(Fc, d) \\
 & \xrightarrow{\text{ev}_c \otimes \text{id}} [\mathcal{D}(Fc, d), \mathcal{M}(Ec, m)] \otimes \mathcal{D}(Fc, d) \\
 & \xrightarrow{\text{ev}} \mathcal{M}(Ec, m)
 \end{aligned}$$

は  $d$  について自然であり，そこからコエンドの普遍性で得られる射

$$\int^{d \in \mathcal{D}} \mathcal{M}(Ld, m) \otimes \mathcal{D}(Fc, d) \rightarrow \mathcal{M}(Ec, m)$$

が  $\theta_{cm}$  である．これは余米田の補題により

$$\theta_{cm} : \mathcal{M}(LFc, m) \rightarrow \mathcal{M}(Ec, m)$$

とみなすことができる．ここで  $\theta_{cm} : \mathcal{M}(LFc, m) \rightarrow \mathcal{M}(Ec, m)$  は  $m$  について自然だから，米田の補題により  $\mathcal{M}$  の射  $\eta_c : Ec \nrightarrow LFc$  を使って  $\theta_{cm} = (- \circ \eta_c)$  と書ける．つまり余米田の補題の証明によれば次の図式が可換である．（但し  $\zeta_d$  は  $\mathcal{M}(L-, m)$  の随伴射である．）

$$\begin{array}{ccc} \mathcal{M}(Ld, m) \otimes \mathcal{D}(Fc, d) & \xrightarrow{\zeta_d} & \mathcal{M}(LFc, m) \\ \sigma_{dm} \otimes \text{id} \downarrow & & \downarrow \theta_{cm} = (- \circ \eta_c) \\ \widehat{\mathcal{C}}(\mathcal{D}(F-, d), \mathcal{M}(E-, m)) \otimes \mathcal{D}(Fc, d) & & \\ \text{ev}_c \otimes \text{id} \downarrow & & \downarrow \\ [\mathcal{D}(Fc, d), \mathcal{M}(Ec, m)] \otimes \mathcal{D}(Fc, d) & \xrightarrow{\text{ev}} & \mathcal{M}(Ec, m) \end{array}$$

よって随伴により次の可換図式を得る．（ $\zeta'_d$  は随伴射である．）

$$\begin{array}{ccc} \mathcal{M}(Ld, m) & \xrightarrow{\zeta'_d} & [\mathcal{D}(Fc, d), \mathcal{M}(LFc, m)] \\ \sigma_{dm} \downarrow & & \downarrow [\text{id}, - \circ \eta_c] \\ \widehat{\mathcal{C}}(\mathcal{D}(F-, d), \mathcal{M}(E-, m)) & & \\ \text{ev}_c \downarrow & & \downarrow \\ [\mathcal{D}(Fc, d), \mathcal{M}(Ec, m)] & \xrightarrow{\text{id}} & [\mathcal{D}(Fc, d), \mathcal{M}(Ec, m)] \end{array} \quad (7)$$

このとき

$$\begin{array}{ccc} \mathcal{M}(LFc, m) & \xrightarrow{\zeta'_{Fc}} & [\mathcal{D}(Fc, Fc), \mathcal{M}(LFc, m)] \\ \text{id} \uparrow & (*) & \downarrow [j_{Fc}, \text{id}] \\ \mathcal{M}(LFc, m) & \xrightarrow{i} & [I, \mathcal{M}(LFc, m)] \end{array} \quad \text{が可換}$$

$$\begin{array}{ccc} \mathcal{M}(LFc, m) \otimes \mathcal{D}(Fc, Fc) & \xrightarrow{\zeta_{Fc}} & \mathcal{M}(LFc, m) \\ \text{id} \otimes j_{Fc} \uparrow & & \downarrow \text{id} \\ \mathcal{M}(LFc, m) \otimes I & \xrightarrow{\rho} & \mathcal{M}(LFc, m) \end{array} \quad \text{が可換}$$

$$\begin{array}{ccc}
\mathcal{D}(Fc, Fc) & \xrightarrow{\mathcal{M}(L-, m)} & [\mathcal{M}(LFc, m), \mathcal{M}(LFc, m)] \\
\iff \uparrow j_{Fc} & & \downarrow \text{id} \\
I & \xrightarrow{j_{\mathcal{M}(LFc, m)}} & [\mathcal{M}(LFc, m), \mathcal{M}(LFc, m)]
\end{array} \quad \text{が可換}$$

となり，最後の図式は可換であるから  $(*)$  も可換である．そこで合成

$$[\mathcal{D}(Fc, Fc), \mathcal{M}(m, LFc)] \xrightarrow{[j_{Fc}, \text{id}]} [I, \mathcal{M}(m, LFc)] \xrightarrow{i^{-1}} \mathcal{M}(m, LFc)$$

を  $\xi_m$  と書けば，次の可換図式が得られる．

$$\begin{array}{ccccc}
I & & & & \text{id} \\
\downarrow \text{id}_{LFc} & \nearrow & & \searrow & \\
\mathcal{M}(LFc, LFc) & \xrightarrow{\zeta'_{Fc}} & [\mathcal{D}(Fc, Fc), \mathcal{M}(LFc, LFc)] & \xrightarrow{\xi_{LFc}} & \mathcal{M}(LFc, LFc) \\
\downarrow \sigma_{Fc, LFc} & & \downarrow [\text{id}, -\circ \eta_c] & & \downarrow -\circ \eta_c \\
\widehat{\mathcal{C}}(\mathcal{D}(F-, Fc), \mathcal{M}(E-, LFc)) & (7) & & (\xi) & \\
\downarrow \text{ev}_c & & \downarrow & & \downarrow \\
[\mathcal{D}(Fc, Fc), \mathcal{M}(Ec, LFc)] & \xrightarrow{\text{id}} & [\mathcal{D}(Fc, Fc), \mathcal{M}(Ec, LFc)] & \xrightarrow{\xi_{Ec}} & \mathcal{M}(Ec, LFc)
\end{array}$$

この図式の右回りの合成が  $\eta_c$  だから， $\eta_c$  は左回りの合成

$$\begin{aligned}
I & \xrightarrow{j_{TFc}} \mathcal{M}(TFc, TFc) \cong \widehat{\mathcal{C}}(\mathcal{D}(F-, Fc), \mathcal{M}(E-, TFc)) \\
& \xrightarrow{\text{ev}_c} [\mathcal{D}(Fc, Fc), \mathcal{M}(Ec, TFc)] \xrightarrow{[j_{Fc}, \text{id}]} [I, \mathcal{M}(Ec, TFc)] \\
& \xrightarrow{i^{-1}} \mathcal{M}(Ec, TFc)
\end{aligned}$$

と一致することが分かり，これは各点左 Kan 拡張  $L$  の unit と一致する（「豊穡圏」の PDF を参照）．更に  $\eta$  の取り方から  $\eta^* = \theta$  となり

$$\begin{array}{ccc}
\mathcal{D} & & \\
\downarrow F^* & \nwarrow L^* & \\
\mathcal{C} & \xleftarrow{E^*} & \mathcal{M}
\end{array}$$

は右 Kan リフトである．故に  $\langle L, \eta \rangle$  は p-各点左 Kan 拡張である．

以上によりこの場合の p-各点左 Kan 拡張は豊穡圏論における各点左 Kan 拡張と一致する． □



y-各点左 Kan 拡張のときと同様に, p-各点左 Kan 拡張が「各点左 Kan 拡張」としての性質を持っていることを見ていく.

命題 8. p-各点左 Kan 拡張は左 Kan 拡張である.

証明.  $\mathcal{B}$  の図式

$$\begin{array}{ccc} & b & \\ f \uparrow & \nearrow l & \\ a & \xrightarrow{g} & c \\ \eta \Uparrow & & \end{array}$$

を p-各点左 Kan 拡張とする. これが左 Kan 拡張であることを示すため, 図式

$$\begin{array}{ccc} & b & \\ f \uparrow & \nearrow k & \\ a & \xrightarrow{g} & c \\ \theta \Uparrow & & \end{array}$$

を考える. これに  $(-)^*$  を適用すれば, 次の右边が得られるから, p-各点左 Kan 拡張の定義より左辺の  $\tau$  が得られる.

$$\begin{array}{ccc} & b & \\ f^* \downarrow & \nwarrow k^* & \\ a & \xleftarrow{g^*} & c \\ \eta^* \Downarrow & l^* & \end{array} = \begin{array}{ccc} & b & \\ f^* \downarrow & \nwarrow k^* & \\ a & \xleftarrow{g^*} & c \\ \theta^* \Downarrow & & \end{array}$$

$(-)^*$  は局所忠実充満だから, この  $\tau$  は  $\tau: l \Rightarrow k$  を使って  $\tau^*$  と書ける. このとき再び局所忠実充満性より

$$\begin{array}{ccc} & b & \\ f \uparrow & \nwarrow k & \\ a & \xrightarrow{g} & c \\ \eta \Uparrow & l & \end{array} = \begin{array}{ccc} & b & \\ f \uparrow & \nwarrow k & \\ a & \xrightarrow{g} & c \\ \theta \Uparrow & & \end{array}$$

となる. このような  $\tau$  は明らかに一意だから  $\langle l, \eta \rangle$  が左 Kan 拡張であることが分かった.  $\square$

定義.  $s: a \rightarrow b$  を map,  $\Phi: x \rightarrow a$  を proarrow とする.  $s$  の  $\Phi$ -**weighted colimit** とは

$\text{map } \text{colim}^\Phi s: x \rightarrow b$  であって  $\Phi_\dagger s^* \cong (\text{colim}^\Phi s)^*$  となるものをいう.

$$\begin{array}{ccc} x & & \\ \Phi \downarrow & \swarrow (\text{colim}^\Phi s)^* & \\ a & \xleftarrow{s^*} & b \end{array}$$

例 9.  $\text{map } s: a \rightarrow b$  に対して  $\text{colim}^{\text{id}_a} s \cong s$  である.  $\square$

例 10.  $l$  が  $f$  に沿った  $g$  の  $p$ -各点左 Kan 拡張ならば,  $l \cong \text{colim}^{f^*} g$  である.  $\square$

定義.  $s: a \rightarrow b$  を  $\text{map}$ ,  $\Phi: x \rightarrow a$  を  $\text{proarrow}$  として  $\text{colim}^\Phi s: x \rightarrow b$  が存在するとする. このとき  $\text{map } f: b \rightarrow c$  が  $\text{colim}^\Phi s$  と **交換する**

$\iff f^*$  が右 Kan リフト  $\text{colim}^\Phi s$  と交換する.

命題 11.  $f: a \rightarrow b$ ,  $g: a \rightarrow c$  を  $\text{map}$  として  $p$ -各点左 Kan 拡張  $\langle f^\dagger g, \eta \rangle$  が存在するとする (このとき例 10 より  $\text{colim}^{f^*} g$  も存在する).  $k: c \rightarrow d$  が  $\text{colim}^{f^*} g$  と交換するとする. このとき  $k$  は  $f^\dagger g$  と交換する.

証明.  $\kappa$  を

$$\kappa := \begin{array}{ccccc} & b & & & \\ & \uparrow f & \searrow f^\dagger g & & \\ a & \xrightarrow{g} & c & \xrightarrow{k} & d \\ & \uparrow \eta & & & \end{array}$$

と定義すると,  $k$  が  $\text{colim}^{f^*} g$  と交換するから

$$\begin{array}{ccc} b & & \\ f^* \downarrow & \swarrow (k \circ f^\dagger g)^* & \\ a & \xleftarrow{(k \circ g)^*} & c \end{array} = \begin{array}{ccccc} b & & & & \\ f^* \downarrow & \swarrow (f^\dagger g)^* & & & \\ a & \xleftarrow{g^*} & a & \xleftarrow{k^*} & c \end{array}$$

が右 Kan リフトとなる.  $\square$

命題 12.  $\text{map } f: b \rightarrow c$  が左随伴のとき,  $f$  は任意の weighted colimit と交換する.

証明.  $\mathcal{B}$  において  $f \dashv u$  とすると  $\mathcal{M}$  において  $f^* \dashv u^*$  である. 故に  $f^*$  は右 Kan リフトと交換する.  $\square$

命題 13.  $s: a \rightarrow b$  を  $\text{map}$ ,  $\Phi: x \rightarrow a$  と  $\Psi: u \rightarrow x$  を  $\text{proarrow}$  として  $\text{colim}^\Phi s$  が存在

するとする。このとき

$$\operatorname{colim}^{\Psi} \operatorname{colim}^{\Phi} s \cong \operatorname{colim}^{\Phi \circ \Psi} s$$

である（但しこの式は、片方が存在するならばもう片方も存在して同型となることを表す）。

証明. 右 Kan リフトの性質から明らか（「2-category での随伴・Kan 拡張・忠実充満」の PDF を参照）。

$$\begin{array}{ccc} u & & \\ \Psi \downarrow & \swarrow & \\ x & & \\ \Phi \downarrow & \swarrow & \\ a & \xleftarrow{s^*} & b \end{array} \quad \begin{array}{l} \Downarrow \\ \Downarrow \end{array} \quad \begin{array}{l} \operatorname{colim}^{\Psi} \operatorname{colim}^{\Phi} s \cong \operatorname{colim}^{\Phi \circ \Psi} s \\ \operatorname{colim}^{\Phi} s \end{array}$$

□

命題 14.  $f: a \rightarrow b$ ,  $g: a \rightarrow c$  を map とする.  $f$  が右随伴を持つとするとすると左 Kan 拡張  $f^{\dagger}g$  が存在するが, この左 Kan 拡張は p-各点左 Kan 拡張である.

証明.  $f \dashv u$  として, この unit を  $\eta$  とする.  $f^{\dagger}g$  の unit は

$$\kappa := \begin{array}{ccccc} & b & & & \\ & \uparrow f & \searrow u & & \\ a & \xrightarrow{\eta} & a & \xrightarrow{g} & c \\ & \text{id}_a & & & \end{array}$$

で定義される  $\kappa$  である. 一方で  $f^* \dashv u^*$  であり,  $\eta^*$  が counit となる. 従って  $(f^*)_{\dagger} \text{id} = \langle u^*, \eta^* \rangle$  は絶対右 Kan リフトとなり,

$$\begin{array}{ccc} b & & \\ f^* \downarrow & \swarrow u^* & \\ a & \xleftarrow{g^*} & c \end{array} \quad \begin{array}{l} \Downarrow \kappa^* \\ \Downarrow \end{array} \quad = \quad \begin{array}{ccc} b & & \\ f^* \downarrow & \swarrow u^* & \\ a & \xleftarrow{(\text{id}_a)^*} & a \xleftarrow{g^*} c \end{array}$$

も右 Kan リフトとなる.

□

### 3 p-忠実充満

定義. map  $f: a \rightarrow b$  が **p-忠実充満**  $\iff \eta_f$  が同型である.

例 15. 例 3 の proarrow equipment  $(-)_*: V\text{-}\mathbf{Cat} \rightarrow V\text{-}\mathbf{Prof}$  では p-忠実充満とは  $V$ -忠実充満のことである.  $\square$

次の定理の通り p-忠実充満は p-各点左 Kan 拡張に付随した「忠実充満」である.

定理 16.  $\mathcal{B}$  の図式

$$\begin{array}{ccc} & b & \\ f \uparrow & \searrow l & \\ a & \xrightarrow{g} & c \end{array} \quad \eta \Uparrow$$

が p-各点左 Kan 拡張で,  $f$  が p-忠実充満ならば,  $\eta$  は同型である.

証明.  $\langle l, \eta \rangle$  が p-各点左 Kan 拡張だから

$$\begin{array}{ccc} & b & \\ f^* \downarrow & \swarrow l^* & \\ a & \xleftarrow{g^*} & c \end{array} \quad \eta^* \Downarrow$$

が右 Kan リフトである. 次に  $f_* \dashv f^*$  より合成

$$\begin{array}{ccccc} a & & & & \\ f_* \downarrow & \swarrow f^* & & & \\ b & \xleftarrow{\text{id}_b} & b & \xleftarrow{l^*} & c \end{array} \quad \varepsilon_f \Downarrow$$

も右 Kan リフトである. 故にそれらを合成した

$$\begin{array}{ccccc} a & & & & \\ f_* \downarrow & \swarrow f^* \circ l^* & & & \\ b & \xleftarrow{l^*} & c & & \\ f_* \downarrow & \swarrow \eta^* & & & \\ a & \xleftarrow{g^*} & c & & \end{array} \quad \varepsilon_f \bullet \eta^* \Downarrow$$

も右 Kan リフトである．今， $f$  が p-忠実充満だから  $\eta_f$  が同型であり，合成

$$\begin{array}{c}
 a \\
 \downarrow f_* \\
 \eta_f \Downarrow \\
 b \\
 \downarrow f^* \\
 a
 \end{array}
 \begin{array}{c}
 \xleftarrow{\text{id}_a} \\
 \xleftarrow{\eta_f} \\
 \xleftarrow{\eta_f}
 \end{array}
 \begin{array}{c}
 a \\
 \downarrow f_* \\
 b \\
 \downarrow f^* \\
 a
 \end{array}
 \begin{array}{c}
 \xleftarrow{\varepsilon_f \bullet l^*} \\
 \xleftarrow{l^*} \\
 \xleftarrow{\eta^*}
 \end{array}
 \begin{array}{c}
 a \\
 \downarrow f_* \\
 b \\
 \downarrow f^* \\
 a
 \end{array}
 \begin{array}{c}
 \xleftarrow{f^* \circ l^*} \\
 \xleftarrow{l^*} \\
 \xleftarrow{g^*}
 \end{array}
 c$$

も右 Kan リフトとなる．即ちこの合成は同型である．一方で  $\eta_f$  と  $\varepsilon_f$  は  $f_* \dashv f^*$  の unit, counit だったから

$$\begin{array}{c}
 a \\
 \downarrow f_* \\
 \eta_f \Downarrow \\
 b \\
 \downarrow f^* \\
 a
 \end{array}
 \begin{array}{c}
 \xleftarrow{\text{id}_a} \\
 \xleftarrow{\eta_f} \\
 \xleftarrow{\eta_f}
 \end{array}
 \begin{array}{c}
 a \\
 \downarrow f_* \\
 b \\
 \downarrow f^* \\
 a
 \end{array}
 \begin{array}{c}
 \xleftarrow{\varepsilon_f \bullet l^*} \\
 \xleftarrow{l^*} \\
 \xleftarrow{\eta^*}
 \end{array}
 \begin{array}{c}
 a \\
 \downarrow f_* \\
 b \\
 \downarrow f^* \\
 a
 \end{array}
 \begin{array}{c}
 \xleftarrow{f^* \circ l^*} \\
 \xleftarrow{l^*} \\
 \xleftarrow{g^*}
 \end{array}
 c
 =
 \begin{array}{c}
 b \\
 \downarrow f^* \\
 a
 \end{array}
 \begin{array}{c}
 \xleftarrow{l^*} \\
 \xleftarrow{g^*}
 \end{array}
 c$$

となり  $\eta^*$  も同型である． $(-)^*$  は局所忠実充満だったから  $\eta$  も同型である．  $\square$

**命題 17.**  $\text{map } f: a \rightarrow b$  が p-忠実充満である  $\iff (f^*)^\dagger f^* = \langle \text{id}_a, \text{id}_{f^*} \rangle$  となる．

**証明.**  $f_* \dashv f^*$  より  $(f^*)^\dagger \text{id}_b = \langle f_*, \varepsilon_f \rangle$  は絶対右 Kan 拡張である．また等式

$$\begin{array}{c}
 a \\
 \uparrow f^* \\
 b
 \end{array}
 \begin{array}{c}
 \xrightarrow{\text{id}_a} \\
 \xrightarrow{f^*} \\
 \xrightarrow{f^*}
 \end{array}
 a
 =
 \begin{array}{c}
 a \\
 \uparrow f^* \\
 b
 \end{array}
 \begin{array}{c}
 \xrightarrow{\text{id}_a} \\
 \xrightarrow{\text{id}_{f^*}} \\
 \xrightarrow{f^*}
 \end{array}
 a$$

が成り立つ．

( $\implies$ )  $f$  が p-忠実充満であるから  $\eta_f$  が同型であり，従って上記等式より  $(f^*)^\dagger f^* = \langle \text{id}_a, \text{id}_{f^*} \rangle$  が分かる．

( $\impliedby$ )  $(f^*)^\dagger f^* = \langle \text{id}_a, \text{id}_{f^*} \rangle$  だとすると，上記等式と右 Kan 拡張の普遍性により  $\eta_f$  は同型となる．  $\square$

補題 18.  $\mathcal{B}$  の図式

$$\begin{array}{ccc}
 & b & \\
 f \downarrow & \nearrow l & \\
 a & \xleftarrow{g} & c
 \end{array}
 \quad \begin{array}{c} \eta \Uparrow \\ \eta \Downarrow \end{array}
 \quad (19)$$

に  $(-)^*$  を適用して得られる  $\mathcal{M}$  の図式

$$\begin{array}{ccc}
 & b & \\
 f^* \uparrow & \nwarrow l^* & \\
 a & \xrightarrow{g^*} & c
 \end{array}
 \quad \begin{array}{c} \eta^* \Downarrow \\ \eta^* \Uparrow \end{array}$$

が右 Kan 拡張を与えるならば, (19) は絶対左 Kan リフトである.

証明. (19) が絶対左 Kan リフトであることを示すため,  $\mathcal{B}$  の図式

$$\begin{array}{ccc}
 b & \xleftarrow{j} & x \\
 f \downarrow & \theta \Uparrow & \downarrow k \\
 a & \xleftarrow{g} & c
 \end{array}$$

を考える.  $k_* \dashv k^*$  の unit  $\varepsilon_k$  と合わせて  $\mathcal{M}$  の図式

$$\begin{array}{ccccc}
 b & \xrightarrow{j^*} & x & & \\
 f^* \uparrow & \theta^* \Downarrow & k^* \uparrow & \searrow k_* & \\
 a & \xrightarrow{g^*} & c & \xrightarrow{\text{id}} & c
 \end{array}
 \quad \begin{array}{c} \Downarrow \varepsilon_k \end{array}$$

を得る.  $\mathcal{M}$  において  $l^* = (f^*)^\dagger g^*$  だから  $\tau$  が一意に存在して

$$\begin{array}{ccc}
 b & \xrightarrow{k^* \circ j_*} & c \\
 f^* \uparrow & \eta^* \Downarrow & \nwarrow l^* \\
 a & \xrightarrow{g^*} & c
 \end{array}
 \quad \begin{array}{c} \tau \end{array}$$

$$\begin{array}{ccc}
b & \xrightarrow{j^*} & x \\
f^* \uparrow & \searrow \tau & \downarrow k_* \\
a & \xrightarrow{g^*} & c \xrightarrow{\text{id}} x
\end{array}
\quad \eta^* \Downarrow l^* \quad = \quad
\begin{array}{ccc}
b & \xrightarrow{j^*} & x \\
f^* \uparrow & \searrow \theta^* & \downarrow k^* \\
a & \xrightarrow{g^*} & c \xrightarrow{\text{id}} c
\end{array}
\quad \varepsilon_k \Downarrow$$

となる.  $\varepsilon_k$  が絶対右 Kan リフトだから, ある  $\xi$  が存在して

$$\begin{array}{ccc}
b & \xrightarrow{j^*} & x \\
& \searrow \xi & \downarrow k_* \\
& & c \xrightarrow{\text{id}} c
\end{array}
\quad l^* \uparrow \quad \varepsilon_k \Downarrow \quad = \quad
\begin{array}{ccc}
b & \xrightarrow{j^*} & x \\
& \searrow l^* & \downarrow \tau \\
& & c \xrightarrow{\text{id}} c
\end{array}
\quad k^* \uparrow$$

となる. このとき絶対右 Kan リフトの普遍性から

$$\begin{array}{ccc}
b & \xrightarrow{j^*} & x \\
f^* \uparrow & \searrow \xi & \downarrow k^* \\
a & \xrightarrow{g^*} & c
\end{array}
\quad \eta^* \Downarrow l^* \quad = \quad
\begin{array}{ccc}
b & \xrightarrow{j^*} & x \\
f^* \uparrow & \searrow \theta^* & \downarrow k^* \\
a & \xrightarrow{g^*} & c
\end{array}$$

である. □

**補題 20.**  $g \dashv u: c \rightarrow a$  とする.  $\mathcal{B}$  の図式

$$\begin{array}{ccc}
b & & \\
f \downarrow & \nearrow l & \\
a & \xleftarrow{g} & c
\end{array}
\quad \eta \Uparrow$$

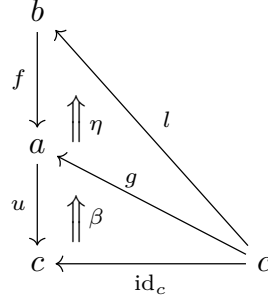
が絶対左 Kan リフトを与える  $\iff (-)^*$  を適用して得られる  $\mathcal{M}$  の図式

$$\begin{array}{ccc}
b & & \\
f^* \uparrow & \nearrow l^* & \\
a & \xrightarrow{g^*} & c
\end{array}
\quad \eta^* \Downarrow$$

が右 Kan 拡張を与える.

証明.  $\Leftarrow$  は補題 18 であるから  $\Rightarrow$  を示せばよい.

$g \dashv u$  の unit を  $\beta$  とする. 仮定より  $f_{\dagger}g = \langle l, \eta \rangle$  が絶対左 Kan リフトで,  $g \dashv u$  だから, 合成



も絶対左 Kan リフトである. 故に  $l \dashv u \circ f$  となる. 従って命題 5 より  $l^* \cong (u \circ f)_* \cong u_* \circ f_* \cong g^* \circ f_*$  となる.  $\square$

命題 21.  $\text{map } f: a \rightarrow b$  が p-忠実充満ならば  $f$  は忠実充満である.

証明.  $f$  が p-忠実充満とすると命題 17 より  $(f^*)^{\dagger}f^* = \langle \text{id}_a, \text{id}_{f^*} \rangle$  である. 故に補題 18 より絶対左 Kan リフト  $f_{\dagger}f = \langle \text{id}, \text{id} \rangle$  が成り立つ. よって  $f$  は忠実充満である.  $\square$

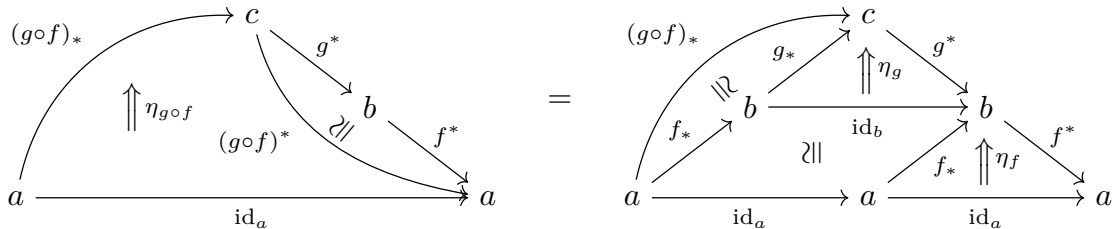
命題 22.  $f \dashv u: a \rightarrow b$  を  $\mathcal{B}$  における随伴とする. このとき,  $f$  が忠実充満ならば  $f$  は p-忠実充満である.

証明.  $f$  が忠実充満とすると絶対左 Kan リフト  $f_{\dagger}f = \langle \text{id}_a, \text{id}_f \rangle$  が成り立つ. 故に補題 20 により  $(f^*)^{\dagger}f^* = \langle \text{id}, \text{id} \rangle$  である. 従って命題 17 より  $f$  は p-忠実充満である.  $\square$

命題 23.  $f: a \rightarrow b, g: b \rightarrow c$  を map とする.  $g$  が p-忠実充満のとき

$f$  が p-忠実充満である  $\iff g \circ f$  が p-忠実充満である.

証明.  $\eta_f, \eta_g, \eta_{g \circ f}$  には次のような関係がある.



今  $g$  が p-忠実充満だから  $\eta_g$  が同型である. 従って

$\eta_f$  が同型  $\iff \eta_{g \circ f}$  が同型



となる.

□

## 4 c-各点左 Kan 拡張との関係

p-各点左 Kan 拡張は次のようにして c-各点左 Kan 拡張と関係がある.

定義.  $\mathcal{B}$  の図式

$$\begin{array}{ccc} t & \xrightarrow{q} & b \\ j \uparrow & \swarrow \kappa & \uparrow f \\ s & \xrightarrow{p} & a \end{array}$$

に対して  $\mathcal{M}$  の図式

$$\begin{array}{ccc} t & \xrightarrow{q_*} & b \\ j^* \downarrow & \searrow \bar{\kappa} & \downarrow f^* \\ s & \xrightarrow{p_*} & a \end{array} \quad := \quad \begin{array}{ccccc} & t & & & \\ & \downarrow \text{id} & \searrow q_* & & \\ & t & & b & \\ & \downarrow j^* & \swarrow q^* & \downarrow f^* & \\ s & & & a & \\ & \downarrow p^* & \swarrow p^* & \downarrow \text{id} & \\ & & & a & \end{array}$$

を  $\kappa$  の **mate** という. このとき  $\kappa$  が **Beck-Chevalley 条件** を満たすとは  $\bar{\kappa}$  が同型になることをいう.

命題 24.  $\mathcal{B}$  の図式

$$\begin{array}{ccccc} t & \xrightarrow{q} & b & & \\ j \uparrow & \swarrow \kappa & \uparrow f & \searrow l & \\ s & \xrightarrow{p} & a & \xrightarrow{g} & c \\ & & \uparrow \eta & & \end{array}$$

において  $\langle l, \eta \rangle$  は p-各点左 Kan 拡張で,  $\kappa$  は Beck-Chevalley 条件を満たすとする. このとき全体は左 Kan 拡張である (即ち  $j^\dagger(g \circ p) = \langle l \circ q, (l \bullet \kappa) * (\eta \bullet p) \rangle$  である).

証明. 左 Kan 拡張であることを示すため, 次の  $\mathcal{B}$  の図式を考える.

$$\begin{array}{ccccc}
 & & h & & \\
 & \swarrow & & \searrow & \\
 t & & & & c \\
 \uparrow j & & \theta \Uparrow & & \\
 s & \xrightarrow{p} & a & \xrightarrow{g} & c
 \end{array}$$

$\theta'$  を次のように定義する.

$$\theta' := \begin{array}{ccccc}
 & & h^* & & \\
 & \swarrow & & \searrow & \\
 t & & & & c \\
 \downarrow j^* & & \theta^* \Downarrow & & \\
 s & \xleftarrow{p^*} & a & \xleftarrow{g^*} & c \\
 & \searrow \varepsilon_p & \downarrow \text{id} & & \\
 & & a & & 
 \end{array}$$

$\kappa$  が Beck-Chevalley 条件を満たすから,  $\sigma := (\bar{\kappa}^{-1} \bullet h^*) * \bar{\theta}$  とすれば次の等式が得られる.

$$\begin{array}{ccccc}
 & & h^* & & \\
 & \swarrow & & \searrow & \\
 t & \xrightarrow{q_*} & b & & c \\
 \downarrow j^* & \nearrow \bar{\kappa} & \downarrow f^* & \searrow \sigma & \\
 s & \xrightarrow{p_*} & a & \xleftarrow{g^*} & c
 \end{array} = \begin{array}{ccccc}
 & & h^* & & \\
 & \swarrow & & \searrow & \\
 t & & & & c \\
 \downarrow j^* & & \theta' \Downarrow & & \\
 s & \xrightarrow{p_*} & a & \xleftarrow{g^*} & c
 \end{array}$$

$\langle l, \eta \rangle$  が p-各点左 Kan 拡張だから, 次の  $\tau: q_* \circ h^* \Rightarrow l^*$  が得られる.

$$\begin{array}{ccccc}
 & & h^* & & \\
 & \swarrow & & \searrow & \\
 t & \xrightarrow{q_*} & b & & c \\
 \downarrow f^* & \nearrow \tau & \downarrow l^* & & \\
 a & \xleftarrow{g^*} & c & & 
 \end{array} = \begin{array}{ccccc}
 & & h^* & & \\
 & \swarrow & & \searrow & \\
 t & \xrightarrow{q_*} & b & & c \\
 \downarrow f^* & & \sigma \Downarrow & & \\
 a & \xleftarrow{g^*} & c & & 
 \end{array}$$

このとき

The image displays a sequence of five commutative diagrams, connected by equals signs, representing the steps of a proof. The diagrams involve objects  $t, b, s, a, c$  and various morphisms.

- Diagram 1 (Top Left):** A complex commutative diagram with multiple paths between objects. It includes a top path  $t \xrightarrow{h^*} c$  and a bottom path  $s \xleftarrow{p^*} a \xleftarrow{g^*} c$ . Other paths involve  $j^*, q^*, f^*, l^*, p^*, \eta_q, \eta_p, \eta^*, \kappa^*, \varepsilon_p$ . A node  $b$  is connected to  $t$  and  $a$ .
- Diagram 2 (Top Right):** A simplified version of the first diagram, showing the same objects and paths but with different intermediate morphisms like  $\bar{\kappa}, \eta^*, g^*$ .
- Diagram 3 (Bottom Left):** A further simplified diagram showing the relationship between  $t, s, a, c$  and  $j^*, p^*, g^*, h^*$ , with a node  $b$  removed.
- Diagram 4 (Bottom Right):** A diagram showing the relationship between  $s, a, c$  and  $p^*, g^*, h^*$ , with a node  $t$  removed.
- Diagram 5 (Far Right):** The final simplified commutative diagram, showing the relationship between  $s, a, c$  and  $p^*, g^*, h^*$ , with a node  $t$  removed, and a morphism  $\theta^*$  indicated.

となるから,  $\xi: l \circ q \Rightarrow h$  を

$$\xi^* = \begin{array}{ccc} & & h^* \\ & \downarrow & \downarrow \\ t & \searrow q_* & \\ \text{id} \downarrow & \eta_q \Rightarrow & \\ t & \xleftarrow{q^*} & b \end{array} \quad \begin{array}{c} \tau \Downarrow \\ \\ l^* \end{array} \quad \begin{array}{c} \\ \\ c \end{array}$$

となるように取れば

$$\begin{array}{ccc}
 & \xrightarrow{h} & \\
 t \xrightarrow{q} b & \xrightarrow{\xi} & \\
 \uparrow j \quad \swarrow \kappa \quad \uparrow f & & \uparrow \eta \\
 s \xrightarrow{p} a & \xrightarrow{g} & c \\
 & \xrightarrow{l} & 
 \end{array}
 =
 \begin{array}{ccc}
 & \xrightarrow{h} & \\
 t \xrightarrow{j} s & \xrightarrow{\theta} & \\
 & & \\
 s \xrightarrow{p} a & \xrightarrow{g} & c
 \end{array}$$

である．このような  $\xi$  は一意だから左 Kan 拡張であることが分かった．  $\square$

**例 25.** 例 3 の proarrow equipment で  $V = \mathbf{Set}$  の場合，即ち  $(-)_* : \mathbf{Cat} \rightarrow \mathbf{Prof}$  を考える．この場合コンマ圏から得られる

$$\begin{array}{ccc}
 C_1 & \xrightarrow{G} & D \\
 Q \uparrow & \swarrow \kappa & \uparrow F \\
 F \downarrow G & \xrightarrow{P} & C_0
 \end{array}$$

は Beck-Chevalley 条件を満たす．

∴) この場合  $\bar{\kappa}$  の定義

$$\begin{array}{ccc}
 C_1 & \xrightarrow{G_*} & D \\
 Q^* \downarrow & \nearrow \bar{\kappa} & \downarrow F^* \\
 F \downarrow G & \xrightarrow{P_*} & C_0
 \end{array}
 :=
 \begin{array}{ccc}
 C_1 & \xrightarrow{G_*} & D \\
 \text{id} \downarrow \eta_G \Rightarrow & & \downarrow F^* \\
 C_1 & \xleftarrow{G^*} & D \\
 Q^* \downarrow & \searrow \kappa^* & \downarrow F^* \\
 F \downarrow G & \xleftarrow{P^*} & C_0 \\
 & \searrow \varepsilon_P \Rightarrow & \downarrow \text{id} \\
 & P_* & C_0
 \end{array}$$

に出てくるそれぞれの自然変換の成分は

- $c_1 \in C_1$  に対して  $(\eta_G)_{c_1} = G : \text{Hom}_{C_1}(-, c_1) \rightarrow \text{Hom}_D(G-, Gc_1)$ .
- $d \in D$  に対して  $\kappa_d^* = - \circ \kappa : \text{Hom}_{F \downarrow G}(GQ-, d) \rightarrow \text{Hom}_{F \downarrow G}(FP-, d)$ .

- $c_0 \in C_0$  に対して

$$(\varepsilon_P)_{c_0}: \int^{x \in F \downarrow G} \text{Hom}_{C_0}(Px, c_0) \times \text{Hom}_{C_0}(-, Px) \rightarrow \text{Hom}_{C_0}(-, c_0)$$

は  $\text{Hom}(Px, c_0) \times \text{Hom}(a, Px) \ni \langle g, f \rangle \mapsto g \circ f \in \text{Hom}(a, c_0)$  からコエンドの普遍性で得られる射である。

となるから  $c_0 \in C_0$  と  $c_1 \in C_1$  に対して  $\bar{\kappa}_{c_0 c_1}$  は合成

$$\begin{aligned} & \int^{x \in F \downarrow G} \text{Hom}_{C_1}(Qx, c_1) \times \text{Hom}_{C_0}(c_0, Px) \\ & \cong \int^{a \in C_1} \int^{x \in F \downarrow G} \text{Hom}_{C_1}(a, c_1) \times \text{Hom}_{C_1}(Qx, a) \times \text{Hom}_{C_0}(c_0, Px) \\ & \xrightarrow{\int f(G \times \text{id})} \int^{a \in C_1} \int^{x \in F \downarrow G} \text{Hom}_D(Ga, Gc_1) \times \text{Hom}_{C_1}(Qx, a) \times \text{Hom}_{C_0}(c_0, Px) \\ & \cong \int^{x \in F \downarrow G} \text{Hom}_D(GQx, Gc_1) \times \text{Hom}_{C_0}(c_0, Px) \\ & \xrightarrow{\int (- \circ \kappa_x) \times \text{id}} \int^{x \in F \downarrow G} \text{Hom}_D(FPx, Gc_1) \times \text{Hom}_{C_0}(c_0, Px) \\ & \cong \int^{a \in C_0} \int^{x \in F \downarrow G} \text{Hom}_D(Fa, Gc_1) \times \text{Hom}_{C_0}(Px, a) \times \text{Hom}_{C_0}(c_0, Px) \\ & \xrightarrow{\int (\text{id} \times \varepsilon)} \int^{a \in C_0} \text{Hom}_D(Fa, Gc_1) \times \text{Hom}_{C_0}(c_0, a) \\ & \cong \text{Hom}_D(Fc_0, Gc_1) \end{aligned}$$

となる。そこでコエンド  $\int^{x \in F \downarrow G} \text{Hom}_{C_1}(Qx, c_1) \times \text{Hom}_{C_0}(c_0, Px)$  の unit と  $\bar{\kappa}_{c_0 c_1}$  の合成を  $\sigma$  とすると、 $\sigma$  による  $\langle g, f \rangle \in \text{Hom}_{C_1}(Qx, c_1) \times \text{Hom}_{C_0}(c_0, Px)$  の行き先は (コエンドの構成で使う同値類を  $[ ]$  で表すと)

$$\begin{aligned} \langle g, f \rangle & \xrightarrow{\text{unit}} [g, f] \cong [\text{id}_{c_1}, g, f] \\ & \xrightarrow{\int f(G \times \text{id})} [\text{id}_{Gc_1}, g, f] \cong [Gg, f] \\ & \xrightarrow{\int (- \circ \kappa_x) \times \text{id}} [Gg \circ \kappa_x, f] \cong [Gg \circ \kappa_x, \text{id}_{Px}, f] \\ & \xrightarrow{\int (\text{id} \times \varepsilon)} [Gg \circ \kappa_x, f] \cong Gg \circ \kappa_x \circ Ff \end{aligned}$$

となる。この  $\sigma$  がコエンドを与えることを示せば  $\bar{\kappa}_{c_0 c_1}$  が同型と分かる。そこで  $x$  について自然な写像  $\theta_x: \text{Hom}_{C_1}(Qx, c_1) \times \text{Hom}_{C_0}(c_0, Px) \rightarrow S$  を取る。次の図式を

可換にするような点線の写像  $h$  が一意に存在することを示せばよい。

$$\begin{array}{ccc}
 \text{Hom}_{C_1}(Qx, c_1) \times \text{Hom}_{C_0}(c_0, Px) & & \\
 \sigma_x \searrow & \theta_x \searrow & \\
 \text{Hom}_D(Fc_0, Gc_1) & \xrightarrow{\quad h \quad} & S
 \end{array}$$

そこで  $k \in \text{Hom}_D(Fc_0, Gc_1)$  とすると  $x_k := \langle c_0, c_1, k \rangle \in F \downarrow G$  である．これを使って  $h(k) := \theta_{x_k}(\langle \text{id}_{c_1}, \text{id}_{c_0} \rangle)$  と定める．このとき明らかに上の図式は可換である．このような  $h$  は明らかに一意である．

従ってこの場合、命題 24 より p-各点左 Kan 拡張ならば c-各点左 Kan 拡張であり、これは第 2 章「Kan 拡張」の PDF で示した事実である。  $\square$

## 5 y-各点 Kan 拡張との関係

この節ではある程度の条件の下で、y-各点 Kan 拡張と p-各点 Kan 拡張が同じものであることを示す（定理 28）．以下、この節では strict 2-category  $\mathcal{C}$  の米田構造が更に次の条件を満たしているとする．

(y6)  $a \in \mathcal{C}$  が small ならば  $\hat{a}$  は余完備である．

充満部分 2-category  $\mathcal{A} \subset \mathcal{C}$  の任意の対象が small であるとする．このとき  $a \mapsto \hat{a}$  は pseudofunctor  $\mathcal{A} \rightarrow \mathcal{C}$  を定めることが分かる．これは relative pseudomonad と呼ばれるモナド（を一般化したもの）になる．ここから Kleisli 圏に相当するものを構成することができる<sup>\*1</sup>が、この場合それは bicategory となる．これは以下により定まる bicategory  $\mathcal{M}$  であることが分かる．ここでは relative pseudomonad の一般論には立ち入らず、 $\mathcal{M}$  の構成だけを述べる．

- $\text{Ob}(\mathcal{M}) := \text{Ob}(\mathcal{A})$  とする．
- $a, b \in \mathcal{A}$  に対して  $\mathcal{M}(a, b) := \mathcal{C}(a, \hat{b})$  とする．
- $a, b \in \mathcal{A}$  とすると、条件 (y6) より  $\hat{b}$  が余完備なので、任意の  $f: a \rightarrow \hat{b}$  に対して y-各点左 Kan 拡張  $y_a^\dagger f$  が存在する．これにより関手  $y_a^\dagger: \mathcal{C}(a, \hat{b}) \rightarrow \mathcal{C}(\hat{a}, \hat{b})$  が得られる．

<sup>\*1</sup> 詳しくは [4] を参照．

- $a, b, c \in \mathcal{A}$  に対して関手  $\diamond: \mathcal{M}(b, c) \times \mathcal{M}(a, b) \rightarrow \mathcal{M}(a, c)$  を合成

$$\mathcal{C}(b, \widehat{c}) \times \mathcal{C}(a, \widehat{b}) \xrightarrow{y_b^\dagger \times \text{id}} \mathcal{C}(\widehat{b}, \widehat{c}) \times \mathcal{C}(a, \widehat{b}) \xrightarrow{\bullet} \mathcal{C}(a, \widehat{c})$$

で定める.

- $a \xrightarrow{f} b \xrightarrow{g} c$  を  $\mathcal{M}$  の 1-morphism とする.

$$\begin{array}{ccccc}
 & & y_a^\dagger((y_b^\dagger g) \circ f) & & \\
 & \swarrow & \downarrow & \searrow & \\
 \widehat{a} & \xrightarrow{y_a^\dagger f} & \widehat{b} & \xrightarrow{y_b^\dagger g} & \widehat{c} \\
 y_a \uparrow & \nearrow f & y_b \uparrow & \nearrow g & \\
 a & & b & & 
 \end{array}$$

$y_b^\dagger g$  が  $y$ -各点左 Kan 拡張なので普遍随伴により  $y_b^\dagger g \dashv \widehat{c}(g, 1)$  となる. 従って  $y_b^\dagger g$  は  $y_a^\dagger f$  と交換するので同型

$$\alpha'_{gf}: y_a^\dagger((y_b^\dagger g) \circ f) \Rightarrow y_b^\dagger g \circ y_a^\dagger f$$

が存在する. これは自然変換

$$\begin{array}{ccc}
 & \mathcal{C}(b, \widehat{c}) \times \mathcal{C}(a, \widehat{b}) & \\
 y_b^\dagger \times \text{id} \swarrow & & \searrow y_b^\dagger \times \text{id} \\
 \mathcal{C}(\widehat{b}, \widehat{c}) \times \mathcal{C}(a, \widehat{b}) & \xrightarrow{\alpha'} & \mathcal{C}(b, \widehat{c}) \times \mathcal{C}(\widehat{a}, \widehat{b}) \\
 \bullet \downarrow & & \downarrow \text{id} \times y_a^\dagger \\
 \mathcal{C}(a, \widehat{c}) & & \mathcal{C}(\widehat{b}, \widehat{c}) \times \mathcal{C}(\widehat{a}, \widehat{b}) \\
 & \searrow y_a^\dagger & \swarrow \bullet \\
 & \mathcal{C}(\widehat{a}, \widehat{c}) & 
 \end{array}$$

を定める. このとき  $\alpha$  を合成

$$\begin{array}{c}
\mathcal{C}(c, \widehat{d}) \times \mathcal{C}(b, \widehat{c}) \times \mathcal{C}(a, \widehat{b}) \\
\swarrow y^\dagger \times \text{id} \times \text{id} \quad \searrow \text{id} \times y^\dagger \times \text{id} \\
\mathcal{C}(\widehat{c}, \widehat{d}) \times \mathcal{C}(b, \widehat{c}) \times \mathcal{C}(a, \widehat{b}) \quad \mathcal{C}(c, \widehat{d}) \times \mathcal{C}(\widehat{b}, \widehat{c}) \times \mathcal{C}(a, \widehat{b}) \\
\swarrow \bullet \times \text{id} \quad \searrow y^\dagger \times \text{id} \times \text{id} \quad \swarrow \text{id} \times \bullet \\
\mathcal{C}(b, \widehat{d}) \times \mathcal{C}(a, \widehat{b}) \quad \xrightarrow{\alpha' \times \text{id}} \quad \mathcal{C}(\widehat{c}, \widehat{d}) \times \mathcal{C}(\widehat{b}, \widehat{c}) \times \mathcal{C}(a, \widehat{b}) = \mathcal{C}(c, \widehat{d}) \times \mathcal{C}(a, \widehat{c}) \\
\swarrow y^\dagger \times \text{id} \quad \searrow \bullet \times \text{id} \quad \swarrow \text{id} \times \bullet \quad \searrow y^\dagger \times \text{id} \\
\mathcal{C}(\widehat{b}, \widehat{d}) \times \mathcal{C}(a, \widehat{b}) \quad \xrightarrow{\sim} \quad \mathcal{C}(\widehat{c}, \widehat{d}) \times \mathcal{C}(a, \widehat{c}) \\
\swarrow \bullet \quad \searrow \bullet \\
\mathcal{C}(a, \widehat{d})
\end{array}$$

により定める.

- $a \in \mathcal{A}$  に対して  $\text{id}_a := y_a: a \rightarrow \widehat{a}$  とする.
- $f: a \rightarrow b$  を  $\mathcal{M}$  の 1-morphism とする. 即ち  $\mathcal{C}$  の 1-morphism  $f: a \rightarrow \widehat{b}$  である.  $y_b^\dagger y_b = \text{id}$  だから  $\text{id}_b \diamond f = (y_b^\dagger y_b) \circ f = f$  である. また  $y_a$  が  $y$ -忠実充満だから,  $y_a^\dagger f$  の unit ( $\rho_f$  で表す) は同型である. これにより

$$f \diamond \text{id}_a = (y_a^\dagger f) \circ y_a \cong f$$

となる.

- このとき次の図式が可換である.

$$\begin{array}{c}
((k \diamond h) \diamond g) \diamond f \\
\swarrow \alpha_{k h g} \bullet f \quad \searrow \alpha_{k \diamond h, g, f} \\
(k \diamond (h \diamond g)) \diamond f \quad (k \diamond h) \diamond (g \diamond f) \\
\swarrow \alpha_{k, h \diamond g, f} \quad \searrow \alpha_{k, h, g \diamond f} \\
k \diamond ((h \diamond g) \diamond f) \quad k \diamond (h \diamond (g \diamond f)) \\
\longrightarrow k \bullet \alpha_{h g f} \\
\\
(g \diamond \text{id}_b) \diamond f \xrightarrow{\alpha_{g, \text{id}_b, f}} g \diamond (\text{id}_b \diamond f) \\
\swarrow \rho_g \bullet f \quad \searrow \text{id} \\
g \diamond f
\end{array}$$



- 以上により  $\mathcal{M}$  は bicategory である.

このとき pseudofunctor  $(-)_*: \mathcal{A} \rightarrow \mathcal{M}$  を以下により定める.

- $a \in \mathcal{A}$  に対して  $a_* := a$  とする.
- $a, b \in \mathcal{A}$  に対して  $(-)_*: \mathcal{A}(a, b) \rightarrow \mathcal{M}(a, b)$  を  $y_b \bullet -: \mathcal{C}(a, b) \rightarrow \mathcal{C}(a, \hat{b})$  により定める.
- $\mathcal{A}$  の 1-morphism  $a \xrightarrow{f} b \xrightarrow{g} c$  に対して, 合成の定義より

$$g_* \diamond f_* = y_b^\dagger(y_c \circ g) \circ y_b \circ f \cong y_c \circ g \circ f = (g \circ f)_*$$

$$\begin{array}{ccccc} & & \hat{b} & \xrightarrow{y_b^\dagger(y_c \circ g)} & \hat{c} \\ & f_* \nearrow & \uparrow y_b & & \uparrow y_c \\ a & \xrightarrow{f} & b & \xrightarrow{g} & c \end{array}$$

である. この同型を  $\varphi_{gf}: g_* \diamond f_* \Rightarrow (g \circ f)_*$  と書く. これは  $g, f$  について自然である.

- $a \in \mathcal{A}$  に対して  $(\text{id}_a)_* = y_a$  である.
- このとき  $\mathcal{M}$  における次の等式が成り立つ.

$$\begin{array}{ccc} \begin{array}{ccccc} & b & \xrightarrow{g_*} & c & \\ f_* \nearrow & \Downarrow \varphi_{gf} & & \searrow h_* & \\ a & \xrightarrow{(g \circ f)_*} & & & d \\ & \Downarrow \varphi_{h, g \circ f} & & & \\ & a & \xrightarrow{(h \circ g \circ f)_*} & d & \end{array} & = & \begin{array}{ccccc} & b & \xrightarrow{g_*} & c & \\ f_* \nearrow & \Downarrow \varphi_{hg, f} & \searrow \varphi_{hg} & \searrow h_* & \\ a & \xrightarrow{(h \circ g)_*} & & & d \\ & \Downarrow \varphi_{h, g \circ f} & & & \\ & a & \xrightarrow{(h \circ g \circ f)_*} & d & \end{array} \\ \\ \begin{array}{ccccc} & b & \xrightarrow{\text{id}} & b & \\ f_* \nearrow & \Downarrow \varphi_{\text{id}, f} & \searrow (\text{id})_* & & \\ a & \xrightarrow{(\text{id} \circ f)_*} & & & b \\ & \Downarrow \varphi_{f, \text{id}} & & & \\ & a & \xrightarrow{f_*} & b & \end{array} & = & \begin{array}{ccccc} & b & \xrightarrow{\text{id}} & b & \\ f_* \nearrow & \Downarrow \text{id} & \searrow & & \\ a & \xrightarrow{f_*} & & & b \end{array} \end{array}$$

- 以上により  $(-)_*: \mathcal{A} \rightarrow \mathcal{M}$  は pseudofunctor になる.

命題 26. 上のように定義した  $(-)_*: \mathcal{A} \rightarrow \mathcal{M}$  は proarrow equipment である.

証明.  $y_b$  は忠実充満である. よって  $(-)_* = y_b \bullet -: \mathcal{C}(a, b) \rightarrow \mathcal{C}(a, \hat{b})$  は忠実充満関手である. 故に任意の map  $f: a \rightarrow b$  に対して  $f_*$  が右随伴を持つことを示せばよい.

※ そこで仮に  $\mathcal{M}$  における随伴  $f_* \dashv f^*: a \rightarrow b$  が成り立ったとする. 即ち  $\mathcal{M}$  の 2-morphism  $\eta: \text{id} \Rightarrow f^* \diamond f_*$  と  $\varepsilon: f_* \diamond f^* \Rightarrow \text{id}$  で

となるものが存在する. これは  $\mathcal{M}$  の定義によれば,  $\mathcal{C}$  における等式

$$\begin{array}{ccc}
b & \xrightarrow{y_b} & \hat{b} \\
f^* \searrow & \Uparrow \varepsilon & \nearrow y_b^\dagger f^* \\
& \hat{a} & \xrightarrow{\text{id}} \hat{a}
\end{array}
\quad = \quad \rho_{f^*}$$

を意味している.

そこで  $f^* := b(f, 1)$  と定める.  $f^{-1} := \hat{b}(y_b \circ f, 1)$  と書くと  $y_b^\dagger(f^*) = f^{-1}$  である.  $y_b^\dagger(f^*)$  の unit を  $\beta^f$  と書く. 即ち  $\beta^f = \rho^{b(f, 1)}$  であり, これは同型である.

$$\begin{array}{ccc}
\hat{b} & & \hat{b} \\
y_b \uparrow & \searrow f^{-1} & \nearrow y_b^\dagger(\hat{b}(f, 1)) \\
b & & b \\
f \uparrow \Uparrow \chi^{y_b \circ f} & & \Uparrow \beta^f \\
a & \xrightarrow{y_a} \hat{a} & a \xrightarrow{y_a} \hat{a}
\end{array}
\quad = \quad
\begin{array}{ccc}
\hat{b} & & \hat{b} \\
y_b \uparrow & \searrow y_b^\dagger(\hat{b}(f, 1)) & \nearrow y_b^\dagger(\hat{b}(f, 1)) \\
b & & b \\
f \uparrow \Uparrow \chi^f & & \Uparrow \beta^f \\
a & \xrightarrow{y_a} \hat{a} & a \xrightarrow{y_a} \hat{a}
\end{array}
\quad (27)$$

普遍随伴により  $y_a^\dagger(y_b \circ f) \dashv f^{-1}$  となるので, この随伴の unit, counit を  $\eta', \varepsilon'$  とする. すなわち

$$\begin{array}{ccc}
& \hat{b} & \xrightarrow{\text{id}} \hat{b} \\
y_a^\dagger(y_b \circ f) \nearrow & \Uparrow \eta' & \searrow f^{-1} \Uparrow \varepsilon' \\
\hat{a} & \xrightarrow{\text{id}} \hat{a} &
\end{array}
\quad = \quad \text{id}_{y_a^\dagger(y_b \circ f)}$$

$$\begin{array}{ccc}
\hat{b} & \xrightarrow{\text{id}} \hat{b} & \\
f^{-1} \searrow & \Uparrow \varepsilon' & \nearrow f^{-1} \\
& \hat{a} & \xrightarrow{\text{id}} \hat{a}
\end{array}
\quad = \quad \text{id}_{f^{-1}}$$

である. このとき

$$\eta := y_a \circ f$$

$$\varepsilon := \begin{array}{ccc} & \widehat{b} & \xrightarrow{\text{id}} \widehat{b} \\ y_b \nearrow & & \nwarrow f^{-1} \\ & \widehat{a} & \\ b \xrightarrow{b(f,1)} & & \nearrow y_a^\dagger(y_b \circ f) \\ & \nwarrow \beta^f & \\ & b & \end{array}$$

と定義すれば  $y_a^\dagger \eta = \eta'$  かつ  $y_b^\dagger \varepsilon = \varepsilon'$  であり

$$\begin{aligned} \rho_{y_b \circ f}^{-1} &= \begin{array}{ccc} & \widehat{b} & \xrightarrow{\text{id}} \widehat{b} \\ y_a^\dagger(y_b \circ f) \nearrow & & \nwarrow f^{-1} \\ & \widehat{a} & \\ y_a \nearrow & \xrightarrow{\text{id}} & \nearrow y_a \\ a & & \end{array} \\ &= \begin{array}{ccc} & \widehat{b} & \xrightarrow{\text{id}} \widehat{b} \\ y_b \circ f \nearrow & & \nwarrow f^{-1} \\ & \widehat{a} & \\ a \nearrow & \xrightarrow{y_a} & \nearrow y_a^\dagger(y_b \circ f) \\ & \nwarrow \eta & \\ & a & \end{array} \end{aligned}$$

であり, また

$$\begin{aligned} \begin{array}{ccc} \widehat{b} & & \\ y_b \uparrow & \searrow f^{-1} & \\ b & \xrightarrow{b(f,1)} & \widehat{a} \\ f \uparrow & \nearrow y_a & \\ a & & \end{array} &= \begin{array}{ccc} \widehat{b} & \xrightarrow{\text{id}} & \widehat{b} \\ y_b \uparrow & \searrow f^{-1} & \nearrow y_a^\dagger(y_b \circ f) \\ b & \xrightarrow{b(f,1)} & \widehat{a} \\ f \uparrow & \nearrow y_a & \nwarrow \eta' \\ a & \xrightarrow{y_a} & \widehat{a} \end{array} \\ &= \begin{array}{ccc} \widehat{b} & \xrightarrow{\text{id}} & \widehat{b} \\ y_b \uparrow & \searrow f^{-1} & \nearrow y_a^\dagger(y_b \circ f) \\ b & \xrightarrow{b(f,1)} & \widehat{a} \\ f \uparrow & \nearrow y_a & \nwarrow \eta \\ a & \xrightarrow{y_a} & \widehat{a} \end{array} \end{aligned}$$

$$= \begin{array}{ccccc} & \widehat{b} & \xrightarrow{\text{id}} & \widehat{b} & \\ & \uparrow y_b & \Uparrow \varepsilon & \uparrow y_a^\dagger(y_b \circ f) & \searrow f^{-1} \\ b & \xrightarrow{b(f,1)} & \widehat{a} & \xrightarrow{\text{id}} & \widehat{a} \\ \uparrow f & \Uparrow \chi^f & \uparrow y_a & \Uparrow \text{id} & \uparrow y_a \\ a & \xrightarrow{y_a} & \widehat{a} & \xrightarrow{y_a} & \widehat{a} \end{array}$$

となるから左 Kan 拡張の普遍性により

$$\begin{array}{ccccc} & \widehat{b} & \xrightarrow{\text{id}} & \widehat{b} & \\ & \uparrow y_b & \Uparrow \varepsilon & \uparrow y_a^\dagger(y_b \circ f) & \searrow f^{-1} \\ b & \xrightarrow{b(f,1)} & \widehat{a} & \xrightarrow{\text{id}} & \widehat{a} \end{array} = \beta^f = \rho_{b(f,1)}$$

である． よって  $f_* \dashv f^*$  が分かった． □

**定理 28.** 上述の proarrow equipment  $(-)_*: \mathcal{A} \rightarrow \mathcal{M}$  を取り  $\mathcal{A}$  の図式

$$\begin{array}{ccc} b & & \\ f \uparrow & \eta \Uparrow & l \searrow \\ a & \xrightarrow{g} & c \end{array}$$

を考える． 更に  $b(f,1)$  は admissible であるとする． このとき

$\langle l, \eta \rangle$  が y-各点左 Kan 拡張である  $\iff \langle l, \eta \rangle$  が p-各点 Kan 拡張である．

**証明.** まず準備として,  $\eta$  に対して  $\eta', \eta''$  を  $\mathcal{C}$  において

$$\begin{array}{ccc} \begin{array}{ccc} b & \xrightarrow{l} & c \\ f \uparrow & \eta \Uparrow & \downarrow c(g,1) \\ a & \xrightarrow{g} & \widehat{a} \end{array} & = & \begin{array}{ccc} b & \xrightarrow{l} & c \\ f \uparrow & \chi^f \Uparrow & \downarrow c(g,1) \\ a & \xrightarrow{y_a} & \widehat{a} \end{array} \\ \\ \begin{array}{ccc} c & \xrightarrow{c(g,1)} & \widehat{a} \\ l \uparrow & \eta' \Uparrow & \downarrow \widehat{a}(b(f,1),1) \\ b & \xrightarrow{y_b} & \widehat{b} \end{array} & = & \begin{array}{ccc} c & \xrightarrow{c(g,1)} & \widehat{a} \\ l \uparrow & \chi^l \Uparrow & \downarrow \widehat{a}(b(f,1),1) \\ b & \xrightarrow{y_b} & \widehat{b} \end{array} \end{array}$$

となるように取る．次に  $(-)^*$  の定義 (命題 4) より  $\eta^* = c(\eta, 1)$  は  $\mathcal{M}$  における次の図式によって与えられる．

$$\begin{array}{ccc}
 & c & \\
 (l \circ f)_* \nearrow \eta_* & & \searrow g^* \\
 a & \xrightarrow{\text{id}_a} & a \\
 & \uparrow \eta_g & \\
 & c & \\
 & \eta_{l \circ f} \Uparrow & \nearrow \eta^* \\
 & (l \circ f)^* & \\
 & a & \\
 & \xrightarrow{\text{id}_a} & a
 \end{array} = 
 \begin{array}{ccc}
 & c & \\
 (l \circ f)_* \nearrow \eta_{l \circ f} \Uparrow & & \searrow g^* \\
 a & \xrightarrow{\text{id}_a} & a \\
 & \eta_{l \circ f} \Uparrow & \nearrow \eta^* \\
 & (l \circ f)^* & \\
 & a & \\
 & \xrightarrow{\text{id}_a} & a
 \end{array}$$

これは proarrow equipment  $(-)_*: \mathcal{A} \rightarrow \mathcal{M}$  の定義によれば  $\mathcal{C}$  における次の等式になる．

$$\begin{array}{ccc}
 b & \xrightarrow{l} & c & \xrightarrow{y_c} & \hat{c} \\
 f \uparrow \eta \Uparrow & & \nearrow g & & \downarrow g^{-1} \\
 a & \xrightarrow{y_a} & \hat{a} & & \\
 & \chi^{y_c \circ g} \Uparrow & & & 
 \end{array} = 
 \begin{array}{ccc}
 b & \xrightarrow{l} & c & \xrightarrow{y_c} & \hat{c} \\
 f \uparrow & & \nearrow \chi^{y_c \circ l \circ f} \Uparrow & & \downarrow (l \circ f)^{-1} \\
 a & \xrightarrow{y_a} & \hat{a} & & \\
 & & & & \downarrow y_c^\dagger \eta^* \Rightarrow \\
 & & & & g^{-1}
 \end{array}$$

これは (27) を使うと次のようになる．

$$\begin{array}{ccc}
 b & \xrightarrow{l} & c & \xrightarrow{y_c} & \hat{c} \\
 f \uparrow \eta \Uparrow & & \nearrow g & & \downarrow g^{-1} \\
 a & \xrightarrow{y_a} & \hat{a} & & \\
 & \chi^g \Uparrow & & & \downarrow \beta^g \\
 & & & & c(g, 1) \nearrow \\
 & & & & \hat{a}
 \end{array} = 
 \begin{array}{ccc}
 b & \xrightarrow{l} & c & \xrightarrow{y_c} & \hat{c} \\
 f \uparrow & & \nearrow \chi^{l \circ f} \Uparrow & & \downarrow (l \circ f)^{-1} \\
 a & \xrightarrow{y_a} & \hat{a} & & \\
 & & & & \downarrow y_c^\dagger \eta^* \Rightarrow \\
 & & & & g^{-1}
 \end{array}$$

$y_c^\dagger \eta^*$  の定義より次の等式が成り立つ．

$$\begin{array}{ccc}
 c & \xrightarrow{y_c} & \hat{c} \\
 c(l \circ f, 1) \searrow & & \downarrow (l \circ f)^{-1} \\
 & & \hat{a} \\
 & & \downarrow y_c^\dagger \eta^* \Rightarrow \\
 & & g^{-1}
 \end{array} = 
 \begin{array}{ccc}
 c & \xrightarrow{y_c} & \hat{c} \\
 c(l \circ f, 1) \searrow & & \downarrow \eta^* \\
 & & \hat{a} \\
 & & \downarrow \beta^g \\
 & & g^{-1}
 \end{array}$$

$\beta^g$  は同型だったから

$$\begin{array}{ccc}
 b & \xrightarrow{l} & c \\
 f \uparrow \eta \Uparrow & & \nearrow c(g, 1) \\
 a & \xrightarrow{y_a} & \hat{a} \\
 & \chi^g \Uparrow & \\
 & & \hat{a}
 \end{array} = 
 \begin{array}{ccc}
 b & \xrightarrow{l} & c \\
 f \uparrow & & \nearrow c(l \circ f, 1) \\
 a & \xrightarrow{y_a} & \hat{a} \\
 & \chi^{l \circ f} \Uparrow & \\
 & & \hat{a}
 \end{array}$$

を得る．ここで

$$\begin{array}{ccc}
 b & \xrightarrow{l} & c \\
 f \uparrow & & \searrow c(l \circ f, 1) \\
 a & \xrightarrow{y_a} & \hat{a} \\
 & \nearrow \chi^{l \circ f} &
 \end{array}
 =
 \begin{array}{ccc}
 b & \xrightarrow{l} & c \\
 f \uparrow & \nearrow y_b & \searrow c(l, 1) \\
 a & \xrightarrow{y_a} & \hat{a} \\
 & \nearrow \chi^f & \nearrow \beta^f \hat{b} \\
 & & \searrow f^{-1}
 \end{array}$$

であるから、 $\langle b(f, 1), \chi^f \rangle$  の普遍性により

$$\begin{array}{ccc}
 b & \xrightarrow{l} & c \\
 & \searrow b(f, 1) & \\
 & & \hat{a} \\
 & \nearrow \eta' & \\
 & & c(g, 1)
 \end{array}
 =
 \begin{array}{ccc}
 b & \xrightarrow{l} & c \\
 & \searrow y_b & \nearrow \chi^l \\
 & & \hat{b} \\
 & \nearrow b(f, 1) & \nearrow \beta^f \hat{b} \\
 & & \searrow f^{-1} \\
 & & \hat{a} \\
 & & \nearrow \eta^* \\
 & & c(g, 1)
 \end{array}$$

が分かる．従って

$$\begin{array}{ccc}
 c & \xrightarrow{c(g, 1)} & \hat{a} \\
 l \uparrow & \searrow c(l, 1) & \nearrow \eta'' \\
 b & \xrightarrow{y_b} & \hat{b} \\
 & \nearrow \chi^l & \nearrow \beta^{b(f, 1), 1}
 \end{array}
 =
 \begin{array}{ccc}
 c & \xrightarrow{c(g, 1)} & \hat{a} \\
 l \uparrow & \nearrow \eta' & \nearrow b(f, 1) \\
 b & \xrightarrow{y_b} & \hat{b} \\
 & \nearrow \chi^{b(f, 1)} & \nearrow \hat{a}(b(f, 1), 1)
 \end{array}$$

$$=
 \begin{array}{ccc}
 c & \xrightarrow{c(g, 1)} & \hat{a} \\
 l \uparrow & \nearrow \eta^* & \nearrow f^{-1} \\
 b & \xrightarrow{y_b} & \hat{b} \\
 & \nearrow \chi^l & \nearrow \beta^f \\
 & \nearrow y_b & \nearrow b(f, 1) \\
 & \nearrow \chi^{b(f, 1)} & \nearrow \hat{a}(b(f, 1), 1)
 \end{array}
 =
 \begin{array}{ccc}
 c & \xrightarrow{c(g, 1)} & \hat{a} \\
 l \uparrow & \nearrow \eta^* & \nearrow f^{-1} \\
 b & \xrightarrow{y_b} & \hat{b} \\
 & \nearrow \chi^l & \nearrow \gamma \\
 & \nearrow y_b & \nearrow \text{id} \\
 & \nearrow \text{id} & \nearrow \text{id}
 \end{array}$$

となる（但し最後は  $y_b^\dagger y_b = \text{id}$  の普遍性により  $\gamma$  を取った）．このとき米田構造の一般論

により  $\gamma$  は  $f^{-1} \dashv \text{ran}_f \cong \widehat{a}(b(f, 1), 1)$  の unit である. また  $\chi^l$  の普遍性により

$$\begin{array}{ccc}
 c & \xrightarrow{c(g,1)} & \widehat{a} \\
 & \searrow c(l,1) & \downarrow \text{ran}_f \\
 & & \widehat{b}
 \end{array}
 \quad \eta'' \Uparrow \quad = \quad
 \begin{array}{ccc}
 c & \xrightarrow{c(g,1)} & \widehat{a} \\
 & \searrow c(l,1) & \downarrow \text{ran}_f \\
 & & \widehat{b}
 \end{array}
 \quad \begin{array}{c} \eta^* \Uparrow \\ f^{-1} \\ \gamma \Uparrow \\ \text{id} \end{array}$$

となる.

(y-各点 Kan 拡張  $\implies$  p-各点 Kan 拡張)  $\eta''$  が同型であるとする.  $\mathcal{M}$  の図式

$$\begin{array}{ccc}
 b & & \\
 f^* \downarrow & \swarrow l^* & \\
 a & \xleftarrow{g^*} & c
 \end{array}
 \quad \eta^* \Downarrow$$

が右 Kan リフトであることを示すため,  $\mathcal{M}$  の図式

$$\begin{array}{ccc}
 b & & \\
 f^* \downarrow & \swarrow \Phi & \\
 a & \xleftarrow{g^*} & c
 \end{array}
 \quad \theta \Downarrow$$

を考える.  $\mathcal{M}$  における合成  $f^* \diamond \Phi$  とは  $\mathcal{C}$  における合成  $(y_b^\dagger f^*) \circ \Phi$  であるが, ここで  $y_b^\dagger f^* \cong f^{-1}$  である.

$$\begin{array}{ccccc}
 & & \widehat{b} & \xrightarrow{f^{-1}} & \widehat{a} \\
 & \nearrow \Phi & \uparrow y_b & \nearrow f^* & \\
 c & & b & & 
 \end{array}$$

従って  $\mathcal{M}$  の 2-morphism  $\theta$  とは  $\mathcal{C}$  の 2-morphism  $\theta: f^{-1} \circ \Phi \Rightarrow g^*$  のことである. そこ



で  $\mathcal{C}$  の 2-morphism  $\tau$  を

$$\tau := \begin{array}{c} \begin{array}{ccccc} & & c(l,1) & & \\ & \nearrow & \text{---} & \searrow & \\ c & \xrightarrow{c(g,1)} & \hat{a} & \xrightarrow{\text{ran}_f} & \hat{b} \\ & \searrow \Phi & \uparrow \theta & \uparrow f^{-1} & \uparrow \gamma \\ & & \hat{b} & \xrightarrow{\text{id}} & \hat{b} \end{array} \end{array}$$

で定義する．即ち  $\tau$  は  $\mathcal{M}$  の 2-morphism  $\tau: \Phi \Rightarrow l^*$  である．このとき  $\mathcal{M}$  における等式

$$\begin{array}{c} c \xrightarrow{g^*} a \\ \searrow l^* \nearrow f^* \\ \Phi \searrow \tau \nearrow b \end{array} = \begin{array}{c} c \xrightarrow{g^*} a \\ \searrow \Phi \nearrow b \\ \uparrow \theta \uparrow f^* \end{array}$$

が成り立つことを示そう．つまり， $\mathcal{C}$  における等式

$$\begin{array}{c} c \xrightarrow{c(g,1)} \hat{a} \\ \searrow c(l,1) \nearrow f^{-1} \\ \Phi \searrow \tau \nearrow \hat{b} \end{array} = \begin{array}{c} c \xrightarrow{c(g,1)} \hat{a} \\ \searrow \Phi \nearrow \hat{b} \\ \uparrow \theta \uparrow f^{-1} \end{array}$$

を示す．そのためには  $\langle f^{-1}, \gamma \rangle$  の普遍性により

$$\begin{array}{c} c \xrightarrow{c(g,1)} \hat{a} \xrightarrow{\text{ran}_f} \hat{b} \\ \searrow c(l,1) \nearrow f^{-1} \uparrow \gamma \\ \Phi \searrow \tau \nearrow \hat{b} \end{array} = \begin{array}{c} c \xrightarrow{c(g,1)} \hat{a} \xrightarrow{\text{ran}_f} \hat{b} \\ \searrow \Phi \nearrow \hat{b} \uparrow \gamma \\ \uparrow \theta \uparrow f^{-1} \end{array}$$

を示せばよい．それは

$$\begin{array}{c} c \xrightarrow{c(g,1)} \hat{a} \xrightarrow{\text{ran}_f} \hat{b} \\ \searrow c(l,1) \nearrow f^{-1} \uparrow \gamma \\ \Phi \searrow \tau \nearrow \hat{b} \end{array} = \begin{array}{c} c \xrightarrow{c(g,1)} \hat{a} \xrightarrow{\text{ran}_f} \hat{b} \\ \searrow c(l,1) \nearrow \eta'' \\ \Phi \searrow \tau \nearrow \hat{b} \end{array} = \begin{array}{c} c \xrightarrow{c(g,1)} \hat{a} \xrightarrow{\text{ran}_f} \hat{b} \\ \searrow \Phi \nearrow \hat{b} \uparrow \gamma \\ \uparrow \theta \uparrow f^{-1} \end{array}$$

により成り立つ.

(p-各点 Kan 拡張  $\implies$  y-各点 Kan 拡張)  $\mathcal{C}$  において随伴  $f^{-1} \dashv \text{ran}_f$  が成り立つから, この counit を  $\varepsilon$  とすると

$$\begin{array}{ccc} c & \xrightarrow{c(g,1)} & \hat{a} \\ & \searrow \text{ran}_f \circ c(g,1) & \uparrow \varepsilon' \\ & & \hat{a} \\ & & \uparrow f^{-1} \\ & & \hat{b} \end{array} \quad := \quad \begin{array}{ccccc} c & \xrightarrow{c(g,1)} & \hat{a} & \xrightarrow{\text{id}} & \hat{a} \\ & & \searrow \text{ran}_f & \uparrow \varepsilon & \uparrow f^{-1} \\ & & \hat{b} & & \hat{b} \end{array}$$

は右 Kan リフトである. 故に普遍性からある  $\theta$  が存在して

$$\begin{array}{ccc} c & \xrightarrow{c(g,1)} & \hat{a} \\ & \searrow \theta & \uparrow \varepsilon' \\ & & \hat{a} \\ & & \uparrow f^{-1} \\ & & \hat{b} \end{array} \quad = \quad \begin{array}{ccc} c & \xrightarrow{c(g,1)} & \hat{a} \\ & \searrow & \uparrow \eta^* \\ & & \hat{a} \\ & & \uparrow f^{-1} \\ & & \hat{b} \end{array}$$

となる. 今仮定より  $(f^{-1})_{\dagger} c(g,1) = \langle c(l,1), \eta^* \rangle$  だから  $\theta$  は同型である. 一方

$$\begin{array}{ccc} c & \xrightarrow{c(g,1)} & \hat{a} \\ & \searrow \eta'' & \uparrow \varepsilon' \\ & & \hat{a} \\ & & \uparrow f^{-1} \\ & & \hat{b} \end{array} \quad = \quad \begin{array}{ccccc} c & \xrightarrow{c(g,1)} & \hat{a} & \xrightarrow{\text{id}} & \hat{a} \\ & \searrow c(l,1) & \downarrow \eta'' & \searrow \text{ran}_f & \uparrow \varepsilon \\ & & \hat{b} & \xrightarrow{\text{id}} & \hat{b} \end{array}$$

$$= \quad \begin{array}{ccccc} c & \xrightarrow{c(g,1)} & \hat{a} & \xrightarrow{\text{id}} & \hat{a} \\ & \searrow c(l,1) & \downarrow \eta^* & \searrow \text{ran}_f & \uparrow \varepsilon \\ & & \hat{b} & \xrightarrow{\text{id}} & \hat{b} \end{array} \quad = \quad \begin{array}{ccccc} c & \xrightarrow{c(g,1)} & \hat{a} & \xrightarrow{\text{id}} & \hat{a} \\ & \searrow c(l,1) & \downarrow \eta^* & \searrow f^{-1} & \uparrow f^{-1} \\ & & \hat{b} & \xrightarrow{\text{id}} & \hat{b} \end{array}$$

となるから  $\theta = \eta''$  であり, 故に  $\eta''$  は同型である. □

**例 29.**  $V'$ -CAT の米田構造において小  $V$ -豊穡圏は small である. また小  $V$ -豊穡圏  $\mathcal{C}$  に対して  $\hat{\mathcal{C}}$  は  $V$ -余完備である. よってここから  $V$ -Cat の proarrow equipment を得ることができ, それは例 3 の proarrow equipment である. □

## 参考文献

- [1] R. J. Wood, Abstract proarrow I, Cahiers de Topologie et Géométrie Différentielle Catégoriques, Volume 23 (1982) no. 3, 279–290, [http://www.numdam.org/item/?id=CTGDC\\_1982\\_\\_23\\_3\\_279\\_0](http://www.numdam.org/item/?id=CTGDC_1982__23_3_279_0)
- [2] R. J. Wood, Proarrows II, Cahiers de Topologie et Géométrie Différentielle Catégoriques, Volume 26 (1985) no. 2, 135–168, [http://www.numdam.org/item?id=CTGDC\\_1985\\_\\_26\\_2\\_135\\_0](http://www.numdam.org/item?id=CTGDC_1985__26_2_135_0)
- [3] R. Rosebrugh and R. J. Wood, Proarrows and cofibrations, Journal of Pure and Applied Algebra Volume 53 (1988) Issue 3, 271–296, DOI: 10.1016/0022-4049(88)90128-4
- [4] Ivan Di Liberti and Fosco Loregian, on the unicity of Formal Category Theories, arXiv: 1901.01594
- [5] A. Carboni and S. Johnson and R. Street and D. Verity, Modulated bicategories, Journal of Pure and Applied Algebra Volume 94, Issue 3 (1994), 229–282, DOI: 10.1016/0022-4049(94)90009-4
- [6] R. Street, Pointwise extensions and sketches in bicategories, arXiv: 1409.6427